

Научная статья

Деформационное состояние листа графена в рамках континуальной моментно-мембранной теории упругих пластин

С.О. Саркисян¹, К.А. Жамакобян¹, Л.С. Саркисян²

¹ Ширакский государственный университет, Гюмри, Республика Армения

² Институт механики НАН РА, Ереван, Республика Армения

Предложен подход для отыскания напряженно-деформированного состояния (НДС) структур, содержащих графен – новый наноматериал, который в настоящее время нашёл наиболее широкое практическое применение в нанoeлектромеханических системах. Графен является базовым двумерным блоком, из которого строятся другие углеродные структуры: мембраны, листы, нанотрубки и другое. Для описания НДС листа графена использована феноменологическая континуальная моментно-мембранная теория пластин, из которой, вследствие того, что графен сверхтонкий материал, исключается понятие толщины. Физические соотношения упругости листа графена выражаются через его жёсткостные характеристики, которые определяются с помощью гармонического потенциала межатомных взаимодействий в углероде. Сформулированы дифференциальная и соответствующая ей вариационная постановка задачи статического деформирования и определения собственных частот и форм колебаний листа графена. Вариационная формулировка выполнена на основе принципа Лагранжа. Задача в вариационной постановке реализована численно, методом конечных элементов. Построены конечно-элементные соотношения, учитывающие моментные эффекты поведения листа графена. Для аппроксимации использован 4-узловой прямоугольный конечный элемент. Представлены численные решения нескольких задач статического деформирования листа графена в условиях плоского напряжённого состояния и поперечного изгиба, а также выполнен анализ его собственных колебаний. Продемонстрирована хорошая сходимость результатов численного моделирования во всех рассмотренных задачах. Полученные численные решения представляют собой важный результат для проектирования и расчёта резонаторов, в которых применяются сверхтонкие наноструктуры, а установление того факта, что лист графена обладает высокой собственной наименьшей частотой, находящейся в гигагерцевой области (например, для кварцевых резонаторов характерны мегагерцевые частоты), открывают перспективу применения самого графена в качестве сверхчувствительного наномеханического резонатора для детектирования малых масс и сверхмалых перемещений.

Ключевые слова: континуальная моментно-мембранная теория упругости, плоское напряжённое состояние, поперечных изгиб, наноструктуры с графеном, статика и собственные колебания, метод конечных элементов

Получение: 28.04.2023 / Публикация онлайн: 01.04.2024

УДК: 539.3

1. Введение

Графен — это двумерный материал, представляющий собой монослой атомов углерода и обладающий уникальными свойствами [1]. Необычность графена проявляется не только в электронных, но и в механических свойствах. Графен является очень прочным, гибким материалом, который обладает выдающимися механическими характеристиками [2]: высокими модулем сдвига, модулем Юнга, продольной скоростью звука и другим.

При исследовании процессов деформирования однослойного листа графена (или других однослойных наноматериалов, например, однослойной нанотрубки) можно непосредственно рассматривать атомную или молекулярную природу строения этих наноструктур. Широкое распространение получило молекулярно-динамическое моделирование графена [3–5]. На практике, для моделирования механического поведения графена или других двумерных наноматериалов, развит метод молекулярной механики (а также метод молекулярной структурной механики) [6–10] и дискретно-континуальные модели [11–15].

При применении метода молекулярной динамики в основном предполагается, что между атомами двумерных наноматериалов имеют место силовые взаимодействия центрального характера. С этой точки зрения в работе [16] отмечается, что если в атомной модели однослойной нанотрубки (также для однослойного графена) учесть только силовое взаимодействие центрального характера между формирующими трубку атомами, тогда нанотрубка (или лист графена) не имела бы изгибной жёсткости и была бы неустойчива. Это означает, что только существование однослойной нанотрубки (или листа графена) будет свидетельствовать о необходимости учёта моментного взаимодействия между её атомами. Исходя из этого, далее, в работах [17–20], как континуальная модель деформационного поведения однослойной нанотрубки (а также однослойного листа графена), устанавливается трёхмерная моментная теория упругости с независимыми полями перемещений и вращений.

Так как графен и углеродная однослойная нанотрубка состоят из одного атомного слоя, следовательно, актуальной является проблема: для изучения механического поведения двумерных наноматериалов, необходимо

построение на основе трёхмерной моментной теории упругости адекватной двумерной модели пластин или оболочек. С этой точки зрения отметим, что в работе [21] сначала изучается линейная атомная цепочка, когда между атомами силовое взаимодействие нецентрально и также имеется моментное взаимодействие (для силового поля атомных взаимодействий выбран гармонический потенциал), а затем строится соответствующая её одномерно-стержневая континуальная модель. При рассмотрении ячейки периодичности кристаллической решётки графена взаимодействие между атомами заменяется указанными стержнями, в результате чего получается дискретно-континуальная (стержневая) модель графена и предельным переходом — его континуальная линейная модель. В этой же работе устанавливается, что построенная континуальная модель графена полностью идентична моментно-мембранной линейной теории упругих пластин [22, 23] и, при помощи сравнения этих двух моделей, определяются упругие жёсткостные характеристики указанной теории пластин через физические параметры гармонического потенциала углерода (которые в литературе известны).

Таким образом, моментно-мембранная линейная теория упругих пластин: а) плоское напряжённое состояние, б) поперечный изгиб, с определёнными указанным выше способом жёсткостными характеристиками, трактуется как континуальная теория деформаций графена, которая открывает большие возможности для изучения различных прикладных задач статики, динамики и устойчивости листа графена.

Возможно рассмотрение задач листа графена в его плоскости; для этого необходимо использовать модель плоского напряжённого состояния моментно-мембранной теории пластин. Аналогично, при его поперечном изгибе требуется применение модели поперечного изгиба указанной теории пластин. В данной работе для решения граничных задач плоского напряжённого состояния и поперечного изгиба моментно-мембранной теории упругих пластин разработаны варианты применения метода конечных элементов (МКЭ), которые дают возможность для изучения различных конкретных прикладных задач статики и собственных колебаний листа графена.

Отметим работы [24–26], которые посвящены применению МКЭ для решения различных прикладных граничных задач моментной теории упругости. Полученные численные результаты в работе [26] рассматриваются как дополнение к аналитическим решениям с позиций их использования для экспериментального подтверждения моментных эффектов при деформировании упругих материалов и в решении проблемы идентификации механических постоянных моментной теории упругости.

2. Постановка задачи

В работах [22, 23] построена моментно-мембранная линейная теория упругих тонких оболочек (срединная поверхность оболочки отнесена к криволинейной ортогональной системе координат, в которой любой точке поверхности отвечают числа (α_1, α_2)). Эта теория основывается на следующих гипотезах:

1) кинематической: компоненты векторов перемещения (\mathbf{V}) и свободного поворота ($\mathbf{\omega}$) не зависят от координаты z , которая отсчитывается по нормали от точки (α_1, α_2) срединной поверхности до произвольной точки оболочки :

$$V_i = u_i(\alpha_1, \alpha_2), \quad V_3 = w(\alpha_1, \alpha_2) \quad (i = 1, 2); \quad \omega_k = \Omega_k(\alpha_1, \alpha_2) \quad (k = 1, 2, 3), \quad (1)$$

то есть перемещения, прогиб, повороты распределены равномерно по толщине оболочки.

2) статической: в физических соотношениях не принимаются во внимание напряжения как существенно меньшие: σ_{33} — относительно напряжений σ_{ii} , где $i = 1, 2$; σ_{3i} — относительно σ_{i3} ; моментное напряжение μ_{33} — относительно μ_{ii} ; μ_{3i} — относительно μ_{i3} .

3) предполагается, что оболочка тонкая.

Следует отметить, что решения трёхмерной граничной задачи моментной теории упругости в тонких областях, построенные в [27, 28] имеют свойства, отвечающие указанным гипотезам.

При переходе к рассмотрению пластинки из уравнений и граничных условий моментно-мембранной линейной теории упругих тонких оболочек [22, 23], получаются две отдельные постановки, представляемые: 1) системой уравнений и граничными условиями для плоского напряжённого состояния упругих пластин, 2) системой уравнений и граничными условиями при поперечной изгибной деформации упругих пластин. Ниже приводятся обе системы уравнений и граничные условия в декартовых координатах x, y .

2.1. Основные уравнения и граничные условия моментно-мембранной теории для случая плоского напряжённого состояния упругих тонких пластинок

Основные уравнения и граничные условия, описывающие плоское напряжённое состояние упругих тонких пластин в рамках моментно-мембранной теории имеют вид [22, 23]:

– уравнения равновесия (движения, где t — время)

$$\frac{\partial T_{11}}{\partial x} + \frac{\partial S_{21}}{\partial y} = 0 \left(\rho_0 \frac{\partial^2 u_1}{\partial t^2} \right), \quad \frac{\partial S_{12}}{\partial x} + \frac{\partial T_{22}}{\partial y} = 0 \left(\rho_0 \frac{\partial^2 u_2}{\partial t^2} \right), \quad \frac{\partial L_{13}}{\partial x} + \frac{\partial L_{23}}{\partial y} + (S_{12} - S_{21}) = 0 \left(J_0 \frac{\partial^2 \Omega_3}{\partial t^2} \right); \quad (2)$$

– геометрические соотношения

$$\Gamma_{11} = \frac{\partial u_1}{\partial x}, \quad \Gamma_{22} = \frac{\partial u_2}{\partial y}, \quad \Gamma_{12} = \frac{\partial u_2}{\partial x} - \Omega_3, \quad \Gamma_{21} = \frac{\partial u_1}{\partial y} + \Omega_3, \quad k_{13} = \frac{\partial \Omega_3}{\partial x}, \quad k_{23} = \frac{\partial \Omega_3}{\partial y}; \quad (3)$$

– физические соотношения упругости

$$T_{11} = \tilde{E}_*(\Gamma_{11} + \nu \Gamma_{22}), \quad T_{22} = \tilde{E}_*(\Gamma_{22} + \nu \Gamma_{11}), \quad S_{12} = C_*[\Gamma_{12} + \eta_1 \Gamma_{21}], \quad S_{21} = C_*[\Gamma_{21} + \eta_1 \Gamma_{12}], \quad (4)$$

$$L_{13} = B_* k_{13}, \quad L_{23} = B_* k_{23}, \quad \eta_1 = \frac{\mu - \alpha}{\mu + \alpha};$$

– граничные условия

$$x = \text{const}: T_{11} = \bar{T}_{11}, \quad S_{12} = \bar{S}_{12}, \quad L_{13} = \bar{L}_{13}; \quad y = \text{const}: S_{21} = \bar{S}_{21}, \quad T_{22} = \bar{T}_{22}, \quad L_{23} = \bar{L}_{23} \quad (5)$$

или

$$x = \text{const}: u_1 = \bar{u}_1, \quad u_2 = \bar{u}_2, \quad \Omega_3 = \bar{\Omega}_3; \quad y = \text{const}: u_1 = \bar{u}_1, \quad u_2 = \bar{u}_2, \quad \Omega_3 = \bar{\Omega}_3, \quad (6)$$

где чертой сверху отмечены заданные значения величин на контуре пластинки. Также могут иметь место смешанные граничные условия. В формулах (1)–(6) приняты обозначения: u_1, u_2 — перемещения в плоскости (x, y) ; Ω_3 — свободный поворот пластинки в плоскости (x, y) ; $\Gamma_{11}, \Gamma_{22}, \Gamma_{12}, \Gamma_{21}$ — тангенциальные деформации; k_{13}, k_{23} — изменения кривизны вокруг осей x, y соответственно; $T_{11}, T_{22}, S_{12}, S_{21}$ — тангенциальные усилия ($T_{ii} = \int_{-h}^h \sigma_{ii} dz, S_{ij} = \int_{-h}^h \sigma_{ij} dz, i, j = 1, 2, i \neq j$); L_{13}, L_{23} — моменты относительно оси z от моментных напряжений

μ_{13}, μ_{23} ($L_{i3} = \int_{-h}^h \mu_{i3} dz, i = 1, 2$), распределённые вдоль осей x, y соответственно; ρ_0 — поверхностная плотность

материала пластинки; J_0 — поверхностная плотность, мера инерции при вращении. В физических соотношениях (4) величины \tilde{E}_*, C_*, B_* представляют собой жёсткостные характеристики плоской пластинки, которые связаны со свойствами её материала (E — модулем упругости, ν — коэффициентом Пуассона, μ, α, B — упругими постоянными пластинки) и с толщиной пластинки $2h$ формулами: $E_* = 2Eh, \tilde{E}_* = E_*/(1 - \nu^2), C_* = 2h(\mu + \alpha), B_* = 2Bh$. В работе [21] для графена определены значения его жёсткостных характеристик (отметим, что для двумерных материалов удобно использование именно жёсткостных характеристик [20]). А это означает, что в континуальную модель графена (2)–(4) не требуется вводить числовое значение толщины пластинки, что является определённым преимуществом перед другими стандартными (классическими) моделями упругих пластин. Для численного расчёта пластинки графена с помощью МКЭ предполагается запись энергетического функционала, под которым в данной работе подразумевается выражение полной потенциальной энергии пластинки, состоящее из суммы потенциальной энергии деформации U и потенциала внешних сил и моментов V :

$$\Pi = U - V, \quad (7)$$

где [23]:

$$U = \iint_{(S)} W dx dy, \quad (8)$$

$$V = \int_0^a (\bar{S}_{21} \cdot u_1 + \bar{T}_{22} \cdot u_2 + \bar{L}_{23} \cdot \Omega_3) \Big|_{y=0}^{y=b} dx + \int_0^b (\bar{T}_{11} \cdot u_1 + \bar{S}_{12} \cdot u_2 + \bar{L}_{13} \cdot \Omega_3) \Big|_{x=0}^{x=a} dy. \quad (9)$$

Здесь W — поверхностная плотность потенциальной энергии деформации пластинки:

$$W = \frac{1}{2} \left[\tilde{E}_*(\Gamma_{11}^2 + \Gamma_{22}^2 + 2\nu \Gamma_{11} \Gamma_{22}) + C_*(\Gamma_{12}^2 + \Gamma_{21}^2 + 2\eta_1 \Gamma_{12} \Gamma_{21}) + B_*(k_{13}^2 + k_{23}^2) \right]. \quad (10)$$

Итак, имеем функционал для анализа плоского напряжённого состояния пластинки из однослойного графена в рамках моментно-мембранной теории упругих пластин. С математической точки зрения решение системы уравнений (2)–(4) с граничными условиями (5), (6) эквивалентно отысканию минимума функционала (7) с учётом соотношений (8)–(10) [23].

Следует отметить, что модель плоского напряжённого состояния моментно-мембранной теории упругих пластин идентична модели плоской задачи моментной теории упругости [29, 30]. Здесь эта модель относится к графену (с известными жёсткостными характеристиками). При $\alpha = 0$, $B = 0$ модель (2)–(6) переходит к плоскому напряжённому состоянию пластин как в классической теории упругости.

2.2. Основные уравнения и граничные условия моментно-мембранной теории для случая поперечного изгиба упругих тонких пластинок

Описание поперечного изгиба упругих тонких пластин в рамках моментно-мембранной теории включает [22, 23]:

– уравнения равновесия (движения)

$$\begin{aligned} \frac{\partial N_{13}}{\partial x} + \frac{\partial N_{23}}{\partial y} = -q_3 \left(\rho_0 \frac{\partial^2 w}{\partial t^2} \right), \quad \frac{\partial L_{11}}{\partial x} + \frac{\partial L_{21}}{\partial y} + N_{23} = -m_1 \left(J_0 \frac{\partial^2 \Omega_1}{\partial t^2} \right), \\ \frac{\partial L_{12}}{\partial x} + \frac{\partial L_{22}}{\partial y} - N_{13} = -m_2 \left(J_0 \frac{\partial^2 \Omega_2}{\partial t^2} \right), \end{aligned} \quad (11)$$

где q_3 , m_1 , m_2 — распределённые в плоскости пластины нормальная нагрузка и моменты-пары;
– геометрические соотношения

$$\Gamma_{13} = \frac{\partial w}{\partial x} + \Omega_2, \quad \Gamma_{23} = \frac{\partial w}{\partial y} - \Omega_1, \quad k_{11} = \frac{\partial \Omega_1}{\partial x}, \quad k_{22} = \frac{\partial \Omega_2}{\partial y}, \quad k_{12} = \frac{\partial \Omega_2}{\partial x}, \quad k_{21} = \frac{\partial \Omega_1}{\partial y}; \quad (12)$$

– физические соотношения упругости

$$\begin{aligned} N_{13} = D_* \Gamma_{13}, \quad N_{23} = D_* \Gamma_{23}, \quad L_{12} = D' [k_{12} + \eta_2 k_{21}], \quad L_{21} = D' [k_{21} + \eta_2 k_{12}], \\ L_{11} = D' [(1 + 2\eta_2) k_{11} + \eta_2 k_{22}], \quad L_{22} = D' [(1 + 2\eta_2) k_{22} + \eta_2 k_{11}], \quad \eta_2 = (\gamma_* - \varepsilon_*) / (\gamma_* + \varepsilon_*); \end{aligned} \quad (13)$$

– граничные условия

$$x = \text{const}: N_{13} = \bar{N}_{13}, \quad L_{11} = \bar{L}_{11}, \quad L_{12} = \bar{L}_{12} \quad \text{или} \quad w = \bar{w}, \quad \Omega_1 = \bar{\Omega}_1, \quad \Omega_2 = \bar{\Omega}_2; \quad (14)$$

$$y = \text{const}: N_{23} = \bar{N}_{23}, \quad L_{21} = \bar{L}_{21}, \quad L_{22} = \bar{L}_{22} \quad \text{или} \quad w = \bar{w}, \quad \Omega_1 = \bar{\Omega}_1, \quad \Omega_2 = \bar{\Omega}_2. \quad (15)$$

Здесь чертой сверху отмечены величины заданные на контуре пластинки. Также могут иметь место граничные условия смешанного типа. В формулах (11)–(15) обозначено: w — прогиб срединной поверхности пластинки; Ω_1 , Ω_2 — свободные повороты точек пластинки относительно осей x и y ; Γ_{13} , Γ_{23} — поперечные сдвиговые деформации в плоскостях (x, z) и (y, z) ; k_{11} , k_{22} , k_{12} , k_{21} — компоненты тензора изгиба–кручений; N_{13} , N_{23} — перерезывающие усилия ($N_{i3} = \int_{-h}^h \sigma_{i3} dz$, $i = 1, 2$); L_{11} , L_{22} , L_{12} , L_{21} — изгибающие и крутящие моменты ($L_{ij} = \int_{-h}^h \mu_{ij} dz$, $i, j = 1, 2$); D_* , D' ($D_* = 2Gh$, $D' = \gamma_* + \varepsilon_* = (\gamma + \varepsilon) \cdot 2h$) — жёсткостные характеристики материала пластинки при поперечном изгибе (при этом G — модуль сдвига, γ и ε — упругие постоянные моментной теории упругости, $2h$ — толщина пластинки). Указанные жесткостные характеристики для графена определены в работе [21].

Сформулированная граничная задача (11)–(15), согласно моментно-мембранной теории поперечного изгиба упругих пластин [23], эквивалентна вариационной задаче, имеющей в основе принцип возможных перемещений. Решение задачи в вариационной форме сводится к минимизации функционала полной потенциальной энергии пластинки размерами $a \times b$:

$$\begin{aligned} \Pi = \iint_{(S)} W_0 dx dy - \iint_{(S)} q w dx dy - \int_0^a (\bar{N}_{23} \cdot w + \bar{L}_{22} \cdot \Omega_2 + \bar{L}_{21} \cdot \Omega_1) \Big|_{y=0}^{y=b} dx - \\ - \int_0^b (\bar{N}_{13} \cdot w + \bar{L}_{11} \cdot \Omega_1 + \bar{L}_{12} \cdot \Omega_2) \Big|_{x=0}^{x=a} dy, \end{aligned} \quad (16)$$

где поверхностная плотность потенциальной энергии её деформации W_0 выражается как

$$W_0 = \frac{1}{2} \{ D_* (\Gamma_{13}^2 + \Gamma_{23}^2) + D' [(1+2\eta_2)(k_{11}^2 + k_{22}^2) + 2\eta_2 k_{11} k_{22}] + D' (k_{12}^2 + k_{21}^2 + 2\eta_2 k_{12} k_{21}) \}. \quad (17)$$

Отметим, что модель поперечного изгиба моментно-мембранной теории упругих пластин в силу того, что по толщине пластинки все искомые величины (1) распределены равномерно, при обращении в нуль моментной жёсткостной постоянной D' не переходит в модель классической теории изгиба пластин. Однако эта модель, с математической точки зрения, аналогична модели изгиба пластин с малой сдвиговой жёсткостью, то есть модели пластин типа Тимошенко [31]. Это означает, что обе модели описываются одинаковыми уравнениями, но физические уравнения содержат различные коэффициенты.

3. Конечно-элементное решение краевых задач статики и собственных колебаний в рамках моментно-мембранной теории упругих пластин на примере прямоугольного листа графена при плоском напряжённом состоянии и при поперечном изгибе

3.1. Задача статики

В рассматриваемых задачах действительные поля переменных сообщают минимум функционалу полной потенциальной энергии. Для задачи плоского напряжённого состояния (модель А) функционал задаётся выражениями (7)–(10), для задачи поперечного изгиба (модель Б) — выражениями (16), (17). В рамках основных процедур МКЭ будем отыскивать приближение к точному решению для обеих граничных задач.

После разбиения прямоугольной поверхности на прямоугольные конечные элементы полная потенциальная энергия пластинки представляется в виде:

$$\Pi = \sum_{e=1}^m \Pi^e = \sum_{e=1}^m \iint_{s^e} \frac{1}{2} \varepsilon^T \sigma ds^e - \sum_{e=1}^m \int U^T p^e dl^e, \quad (18)$$

где s^e — площадь конечного элемента, l^e — его контур, m — общее число элементов, ε^T , σ , U^T , p^e — векторы переменных, T — символ операции транспонирования.

Модель А. Плоское напряжённое состояние пластинки. В этом случае величины, входящие в (18), выражаются через следующие параметры элементов: $\{\varepsilon^e\}^T = (\Gamma_{11}^e, \Gamma_{22}^e, \Gamma_{12}^e, \Gamma_{21}^e, k_{13}^e, k_{23}^e)$ — вектор обобщённых деформаций, $\{\sigma^e\}^T = (T_{11}^e, T_{22}^e, S_{12}^e, S_{21}^e, L_{13}^{(e)}, L_{23}^{(e)})$ — вектор обобщённых усилий, $\{u^e\}^T = (u_1^e, u_2^e, \Omega_3^e)$ — вектор обобщённых перемещений, $\{p^e\}^T = (T_{11}^{(e)}, S_{12}^{(e)}, L_{13}^{(e)})$ — усилия на контурах $x = \text{const}$ прямоугольного элемента, $\{p^e\}^T = (S_{21}^e, T_{22}^e, L_{23}^e)$ — усилия на контурах $y = \text{const}$ прямоугольного элемента. Символ T указывает на операцию транспонирования.

Рассмотрим равновесие некоторого элемента e с узлами i, j, k, l , каждый из которых характеризуется 9 степенями свободы (9 независимыми переменными): $u_1^{(e)}, u_2^{(e)}, \Omega_3^{(e)}, \partial u_1^{(e)}/\partial x, \partial u_2^{(e)}/\partial x, \partial \Omega_3^{(e)}/\partial x, \partial u_1^{(e)}/\partial y, \partial u_2^{(e)}/\partial y, \partial \Omega_3^{(e)}/\partial y$. Представим переменные $u_1^{(e)}, u_2^{(e)}, \Omega_3^{(e)}$ в плоскости $\{x, y\}$ в виде полиномиальных рядов, содержащих в общей сложности 36 коэффициентов $\alpha_1, \alpha_2, \dots, \alpha_{36}$:

$$\begin{aligned} u_1^{(e)} &= \alpha_1 + \alpha_2 x + \alpha_3 y + \alpha_4 x^2 + \alpha_5 y^2 + \alpha_6 xy + \alpha_7 x^2 y + \alpha_8 xy^2 + \alpha_9 x^3 + \alpha_{10} y^3 + \alpha_{11} x^3 y + \alpha_{12} xy^3, \\ u_2^{(e)} &= \alpha_{13} + \alpha_{14} x + \alpha_{15} y + \alpha_{16} x^2 + \alpha_{17} y^2 + \alpha_{18} xy + \alpha_{19} x^2 y + \alpha_{20} xy^2 + \alpha_{21} x^3 + \alpha_{22} y^3 + \alpha_{23} x^3 y + \alpha_{24} xy^3, \\ \Omega_3^{(e)} &= \alpha_{25} + \alpha_{26} x + \alpha_{27} y + \alpha_{28} x^2 + \alpha_{29} y^2 + \alpha_{30} xy + \alpha_{31} x^2 y + \alpha_{32} xy^2 + \alpha_{33} x^3 + \alpha_{34} y^3 + \alpha_{35} x^3 y + \alpha_{36} xy^3. \end{aligned} \quad (19)$$

После выполнения процедур МКЭ придём к соответствующим дискретным представлениям:

$$\{u^e\} = [N]\{\delta^e\}, \quad \{\varepsilon^e\} = [R][N]\{\delta^e\} = [B]\{\delta^e\}, \quad \{\sigma^e\} = [D][B]\{\delta^e\}, \quad (20)$$

где $[N]$ — матрица базисных функций конечного элемента (матрица функций формы), $[R]$ — матрица дифференциальных операторов, связывающих линейные деформации и деформации изгиба–кручения с перемещениями и свободным поворотом, $[D]$ — матрица упругости:

$$[R] = \begin{bmatrix} \partial/\partial x & 0 & 0 \\ 0 & \partial/\partial y & 0 \\ 0 & \partial/\partial x & -1 \\ \partial/\partial y & 0 & 1 \\ 0 & 0 & \partial/\partial x \\ 0 & 0 & \partial/\partial y \end{bmatrix}, \quad [D] = \begin{bmatrix} \tilde{E}_* & \tilde{E}_* \nu & 0 & 0 & 0 & 0 \\ \tilde{E}_* \nu & \tilde{E}_* & 0 & 0 & 0 & 0 \\ 0 & 0 & C_* & C_* \eta_1 & 0 & 0 \\ 0 & 0 & C_* \eta_1 & C_* & 0 & 0 \\ 0 & 0 & 0 & 0 & B_* & 0 \\ 0 & 0 & 0 & 0 & 0 & B_* \end{bmatrix}.$$

Далее вектор узловых обобщённых перемещений в элементе e выражается через искомые переменные:

$$\{\delta^e\}^T = \left(u_{1i}^e, \frac{\partial u_{1i}^e}{\partial x}, \frac{\partial u_{1i}^e}{\partial y}, u_{2i}^e, \frac{\partial u_{2i}^e}{\partial x}, \frac{\partial u_{2i}^e}{\partial y}, \Omega_{3i}^e, \frac{\partial \Omega_{3i}^e}{\partial x}, \frac{\partial \Omega_{3i}^e}{\partial y}, u_{1j}^e, \frac{\partial u_{1j}^e}{\partial x}, \frac{\partial u_{1j}^e}{\partial y}, u_{2j}^e, \frac{\partial u_{2j}^e}{\partial x}, \frac{\partial u_{2j}^e}{\partial y}, \Omega_{3j}^e, \frac{\partial \Omega_{3j}^e}{\partial x}, \frac{\partial \Omega_{3j}^e}{\partial y}, \right. \\ \left. u_{1k}^e, \frac{\partial u_{1k}^e}{\partial x}, \frac{\partial u_{1k}^e}{\partial y}, u_{2k}^e, \frac{\partial u_{2k}^e}{\partial x}, \frac{\partial u_{2k}^e}{\partial y}, \Omega_{3k}^e, \frac{\partial \Omega_{3k}^e}{\partial x}, \frac{\partial \Omega_{3k}^e}{\partial y}, u_{1l}^e, \frac{\partial u_{1l}^e}{\partial x}, \frac{\partial u_{1l}^e}{\partial y}, u_{2l}^e, \frac{\partial u_{2l}^e}{\partial x}, \frac{\partial u_{2l}^e}{\partial y}, \Omega_{3l}^e, \frac{\partial \Omega_{3l}^e}{\partial x}, \frac{\partial \Omega_{3l}^e}{\partial y} \right). \quad (21)$$

Модель Б. Поперечный изгиб пластинки. При поперечном изгибе входящие в выражение полной потенциальной энергии пластинки (18) обобщённые параметры связываются с характеристиками конечных элементов, которые отвечают состоянию поперечного изгиба: $\{u^e\}^T = (w^e, \Omega_1^e, \Omega_2^e)$ — вектор обобщённых перемещений, $\{\varepsilon^e\}^T = (G_{13}^e, G_{23}^e, k_{11}^e, k_{22}^e, k_{12}^e, k_{21}^e)$ — вектор обобщённых деформаций, $\{\sigma^e\}^T = (N_{13}^e, N_{23}^e, L_{11}^e, L_{22}^e, L_{12}^e, L_{21}^e)$ — вектор обобщённых усилий, $\{p^e\}^T = (N_{13}^e, L_{11}^e, L_{12}^e)$ — усилия на контуре $x = \text{const}$ прямоугольного элемента, $\{p^e\}^T = (N_{23}^e, L_{21}^e, L_{22}^e)$ — усилия на контуре $y = \text{const}$ прямоугольного элемента.

Узлы прямоугольного конечного элемента также имеют по 9 степеней свободы ($w^e, \Omega_1^e, \Omega_2^e, \partial w^e / \partial x, \partial w^e / \partial y, \partial \Omega_1^e / \partial x, \partial \Omega_1^e / \partial y, \partial \Omega_2^e / \partial x, \partial \Omega_2^e / \partial y$). Прогиб w^e и независимые повороты Ω_1^e, Ω_2^e представляются подобно (20):

$$w = \alpha_1 + \alpha_2 x + \alpha_3 y + \alpha_4 x^2 + \alpha_5 y^2 + \alpha_6 xy + \alpha_7 x^2 y + \alpha_8 xy^2 + \alpha_9 x^3 + \alpha_{10} y^3 + \alpha_{11} x^3 y + \alpha_{12} xy^3, \\ \Omega_1 = \alpha_{13} + \alpha_{14} x + \alpha_{15} y + \alpha_{16} x^2 + \alpha_{17} y^2 + \alpha_{18} xy + \alpha_{19} x^2 y + \alpha_{20} xy^2 + \alpha_{21} x^3 + \alpha_{22} y^3 + \alpha_{23} x^3 y + \alpha_{24} xy^3, \\ \Omega_2 = \alpha_{25} + \alpha_{26} x + \alpha_{27} y + \alpha_{28} x^2 + \alpha_{29} y^2 + \alpha_{30} xy + \alpha_{31} x^2 y + \alpha_{32} xy^2 + \alpha_{33} x^3 + \alpha_{34} y^3 + \alpha_{35} x^3 y + \alpha_{36} xy^3.$$

В этом случае также приходим к дискретным выражениям вида (20), где на этот раз

$$[R] = \begin{bmatrix} \partial/\partial x & 0 & +1 \\ \partial/\partial y & -1 & 0 \\ 0 & \partial/\partial x & 0 \\ 0 & 0 & \partial/\partial y \\ 0 & 0 & \partial/\partial x \\ 0 & \partial/\partial y & 0 \end{bmatrix}, \quad [D] = \begin{bmatrix} D_* & 0 & 0 & 0 & 0 & 0 \\ 0 & D_* & 0 & 0 & 0 & 0 \\ 0 & 0 & D'(1+2\eta_2) & D'\eta_2 & 0 & 0 \\ 0 & 0 & D'\eta_2 & D'(1+2\eta_2) & 0 & 0 \\ 0 & 0 & 0 & 0 & D' & D'\eta_2 \\ 0 & 0 & 0 & 0 & D'\eta_2 & D' \end{bmatrix}.$$

Вектор узловых обобщённых перемещений в элементе e связан с другими узловыми переменными:

$$\{\delta^e\}^T = \left(w_i^e, \frac{\partial w_i^e}{\partial x}, \frac{\partial w_i^e}{\partial y}, \Omega_{1i}^e, \frac{\partial \Omega_{1i}^e}{\partial x}, \frac{\partial \Omega_{1i}^e}{\partial y}, \Omega_{2i}^e, \frac{\partial \Omega_{2i}^e}{\partial x}, \frac{\partial \Omega_{2i}^e}{\partial y}, w_j^e, \frac{\partial w_j^e}{\partial x}, \frac{\partial w_j^e}{\partial y}, \Omega_{1j}^e, \frac{\partial \Omega_{1j}^e}{\partial x}, \frac{\partial \Omega_{1j}^e}{\partial y}, \Omega_{2j}^e, \frac{\partial \Omega_{2j}^e}{\partial x}, \frac{\partial \Omega_{2j}^e}{\partial y}, \right. \\ \left. w_k^e, \frac{\partial w_k^e}{\partial x}, \frac{\partial w_k^e}{\partial y}, \Omega_{1k}^e, \frac{\partial \Omega_{1k}^e}{\partial x}, \frac{\partial \Omega_{1k}^e}{\partial y}, \Omega_{2k}^e, \frac{\partial \Omega_{2k}^e}{\partial x}, \frac{\partial \Omega_{2k}^e}{\partial y}, w_l^e, \frac{\partial w_l^e}{\partial x}, \frac{\partial w_l^e}{\partial y}, \Omega_{1l}^e, \frac{\partial \Omega_{1l}^e}{\partial x}, \frac{\partial \Omega_{1l}^e}{\partial y}, \Omega_{2l}^e, \frac{\partial \Omega_{2l}^e}{\partial x}, \frac{\partial \Omega_{2l}^e}{\partial y} \right). \quad (22)$$

Далее, для задач А и Б, исходя из функционала (18), после дифференцирования в соответствии с МКЭ [32–34] и введения обозначений:

$$\{f^e\} = \int_{(l^e)} [N]^T \{p^e\} dl^e, [K^e] = \iint_{(s^e)} [B]^T [D] [B] ds^e, \quad (23)$$

придём к уравнению равновесия элемента e :

$$\frac{\partial \Pi^e}{\partial \{\delta^e\}} = [K^e] \{\delta^e\} - \{f^e\} = 0,$$

где $[K^e]$ — матрицы жёсткости конечного элемента e , $\{f^e\}$ — вектор эквивалентных узловых сил.

Далее, объединим эти элементарные матричные соотношения в одно матричное соотношение, в которое внесём изменения в целях учёта кинематических граничных условий (при представлении вектора узловых сил статические граничные условия выполняются автоматически), получим окончательную систему алгебраических уравнений:

$$[K_\Sigma] \{\Delta\} = \{f_\Sigma\},$$

порядок которой соответствует числу введённых в рассмотрение неизвестных. Матрица $[K_\Sigma]$ носит название глобальной матрицы жёсткости, $\{f_\Sigma\}$ — глобального вектора узловых сил системы, а $\{\Delta\}$ — глобального вектора узловых неизвестных:

$$\{\Delta\} = \{\delta_1, \delta_2, \dots, \delta_N\}^T. \quad (24)$$

Здесь: N — общее число узлов в системе; δ_i — вектор неизвестных i -го узла вида (21) или (22).

3.2. Задача собственных колебаний листа графена

Решение этой задачи также будем находить численно, с помощью МКЭ.

При исследовании собственных колебаний пластины по модели А функционал (7)–(10) заменяется лагранжианом:

$$L_1 = \frac{1}{2} \iint_{(s)} [\Gamma_{11}^2 + \Gamma_{22}^2 + 2\nu\Gamma_{11}\Gamma_{22}] + C_* (\Gamma_{12}^2 + \Gamma_{21}^2 + 2\eta_1\Gamma_{12}\Gamma_{21}) + B_* (k_{13}^2 + k_{23}^2) dx dy - \\ - \frac{1}{2} \omega^2 \iint_{(s)} [\rho_0(u_1^2 + u_2^2) + J_0\Omega_3^2] dx dy, \quad (25)$$

где ω — круговая частота колебаний. В случае модели Б функционал (16), (17) заменяется лагранжианом вида:

$$L_2 = \frac{1}{2} \iint_{(s)} \{ D_* (\Gamma_{13}^2 + \Gamma_{23}^2) + D' [(1 + 2\eta_2)(k_{11}^2 + k_{22}^2) + 2\eta_2 \cdot k_{11}k_{22}] + D' (k_{12}^2 + k_{21}^2 + 2\eta_2 \cdot k_{12}k_{21}) \} dx dy - \\ - \frac{1}{2} \omega^2 \iint_{(s)} [\rho_0 w^2 + J_0 (\Omega_1^2 + \Omega_2^2)] dx dy, \quad (26)$$

Экстремальные свойства (см. [35]) функционала (25) или (26) приводят в задаче на собственные колебания к следующим конечно-элементным уравнениям для элемента:

$$\{ [K^e] - \omega^2 [M^e] \} \cdot \{ \delta^e \} = 0,$$

где $[K^e]$ — матрица жёсткости (23), $[M^e]$ — матрица массы конечного элемента e . Глобальная система однородных алгебраических уравнений метода МКЭ в целом для пластины примет вид:

$$\{ [K_\Sigma] - \omega^2 [M_\Sigma] \} \cdot \{ \Delta \} = 0, \quad (27)$$

при этом $[K_\Sigma]$ — глобальная матрица жёсткости, $[M_\Sigma]$ — глобальная матрица масс, $\{ \Delta \}$ — глобальный вектор узловых неизвестных (24). В системе (27) необходимо учесть кинематические граничные условия.

Система (27) является задачей на собственные значения, решениями которой служат частоты и формы собственных колебаний пластины в рамках моделей А и Б листа графена.

4. Результаты решения задач

Рассмотрим задачи статики и собственных колебаний прямоугольного листа графена по модели Б (поперечный изгиб пластинки) (Рис. 1) при двух вариантах закрепления по контуру: 1) шарнирное опирание; 2) жёсткое защемление. В задаче статики зададим $q_3 \equiv \text{const}$, $m_1 = 0$, $m_2 = 0$. Первый вариант граничных условий записывается так:

$$x=0, a: \quad w=0, \quad \frac{d\Omega_2}{dx}=0, \quad \Omega_1=0; \\ y=0, b: \quad w=0, \quad \Omega_2=0, \quad \frac{d\Omega_1}{dy}=0. \quad (28)$$

В расчёте использовались характеристики графена из [21] (размерности содержат приставку «н» — нано: наноНьютон (нН), нанометр (нм) и так далее): $D_* = 86$ нН/нм; $D' = 0.415$ нН·нм; $\eta_2 = -0.219$. Для q_3 принималось значение: $q_3 = 10^{-3}$ нН/нм². Пластинка графена имела размеры $a = 20$ нм, $b = 20$ нм.

Из решения матричного уравнения (27) с учётом граничных условий (28) получим значения всех искомым величин в любой точке прямоугольной области. Таблица 1 содержит вычисленные значения компонент обобщённых переменных в центральной точке $D(a/2, b/2)$ прямоугольной области размерами $a \times b$. Для сравнения здесь и в последующих таблицах приведены точные значения, определённые из решения граничной задачи методом двойных тригонометрических рядов.

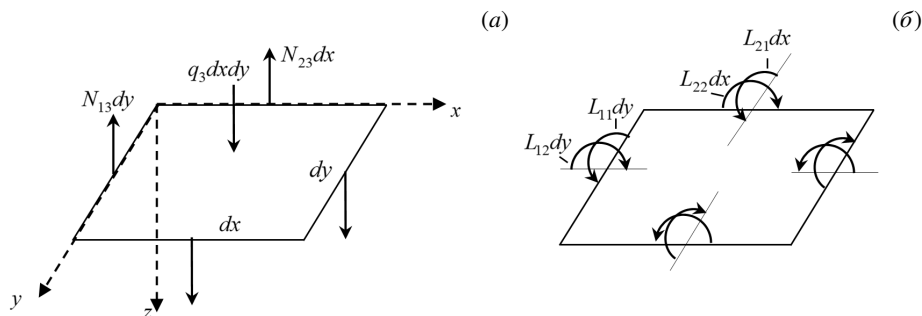


Рис. 1. Распределённые усилия (а) и моменты (б) в элементе пластины при расчёте по модели Б

Таблица 1. Значения компонент обобщённых переменных в центре прямоугольной области

Компонента	Число конечных элементов в дискретизирующей область сетке				Точное значение
	4	16	36	64	
Прогиб w , нм	0.1019	1.1214	1.4664	1.5231	1.5665
Свободный поворот Ω_1 , рад относительно оси x	0	0	0	0	0
Свободный поворот Ω_2 , рад относительно оси C	0	0	0	0	0
Перерезывающее усилие N_{13} , нН/нм	0	0	0	0	0
Перерезывающее усилие N_{23} , нН/нм	0	0	0	0	0
Крутящий момент L_{11} , нН	0	0	0	0	0
Крутящий момент L_{22} , нН	0	0	0	0	0
Изгибающий момент L_{12} , нН	0.0023	0.0156	0.0182	0.01817	0.01775
Изгибающий момент L_{21} , нН	-0.0023	-0.0156	-0.0182	-0.01817	-0.01775

Таблица 2. Значения компонент обобщённых переменных в точке с координатами $B(a,b/2)$

Компонента	Число конечных элементов в дискретизирующей область сетке				Точное значение
	4	16	36	64	
Свободный поворот Ω_2 , рад относительно оси y	0.0133	0.1786	0.2391	0.2504	0.2598
Перерезывающее усилие N_{13} , нН/нм	-0.0597	-0.0377	-0.0144	-0.0086	-0.0067
Крутящий момент L_{11} , нН	0	0	0	0	0
Изгибающий момент L_{12} , нН	0	0	0	0	0

Таблица 3. Наименьшая частота собственных колебаний листа графена

Наименьшая частота собственных колебаний	Число конечных элементов в дискретизирующей область сетке			Точное значение
	4	16	36	
ω , ГГц	19.5	6.47	5.80	5.72

Результаты решения задачи на собственные колебания прямоугольного листа графена приведены в таблице 3 ($\rho_0 = 0.76 \cdot 10^{-15}$ нкг/нм²; $J_0 = 0.46 \cdot 10^{-19}$ нкг [21]).

Данные таблиц 1–3 демонстрируют сходимость численного решения к точному с измельчением конечно-элементной сетки.

Рассмотрим задачу при втором варианте граничных условий:

$$x=0, a: \quad w=0, \quad \Omega_1=0, \quad \Omega_2=0;$$

$$x=b, b: \quad w=0, \quad \Omega_1=0, \quad \Omega_2=0.$$

При 64 конечных элементах получены следующие результаты: $w(O) = 0.478$ нм; $\Omega_1(O) = \Omega_2(O) = 0$;

$$N_{13}(O) = N_{23}(O) = L_{11}(O) = L_{22}(O) = 0; L_{12}(O) = 0.00897 \text{ нН}; L_{21}(O) = -0.00897 \text{ нН}; \omega = 10.9 \text{ ГГц.}$$

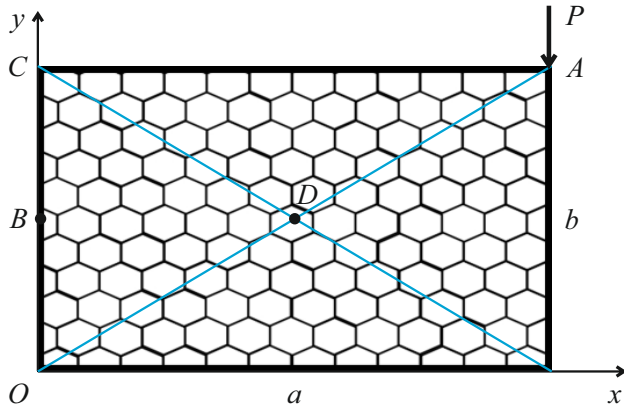


Рис. 2. Расчётная область в задаче плоского напряжённого состояния прямоугольного листа графена

Теперь рассмотрим задачи статики и собственных колебаний прямоугольного листа графена по модели А (плоское напряжённое состояние). На рисунке 2 показан прямоугольный лист графена с контрольными точками. Левый конец этой области жёстко закреплён, в точке А приложена сосредоточенная нагрузка P . Граничные условия этой задачи имеют вид:

$$\begin{aligned} x=0: \quad & u_1=0, u_2=0, \Omega_3=0 \\ y=0: \quad & S_{21}=0, T_{22}=0, L_{23}=0, \\ y=b: \quad & S_{21}=0, T_{22}=-P\delta(x-a, y) L_{23}=0, \\ x=a: \quad & S_{12}=0, T_{11}=0, L_{13}=0, \end{aligned}$$

где $\delta(x, y)$ — дельта-функция Дирака.

Расчёты выполнены при значениях параметров: $E_* = 287 \text{ нН/нм}$; $\tilde{E}_* = 304 \text{ нН/нм}$; $C_* = 168 \text{ нН/нм}$; $B_* = 0,505 \text{ нН}\cdot\text{нм}$ [21], $a = 20 \text{ нм}$, $b = 20 \text{ нм}$, $P = 0,5 \text{ нН}$. В результате вычислений получены следующие данные в точках $A(a, b)$, $B(0, b/2)$ при $\omega = 93 \text{ ГГц}$: $u_1(A) = 0.0115 \text{ нм}$, $u_2(A) = -0.0226 \text{ нм}$, $\Omega_3(A) = -0.00481 \text{ рад}$, $T_{11}(B) = -0.0014 \text{ нН/нм}$, $S_{12}(B) = 0.00328 \text{ нН/нм}$, $L_{13}(B) = 0.00014 \text{ нН}$.

5. Заключение

На основе построенной в рамках моментно-мембранной линейной теории упругих тонких пластин континуальной математической модели деформационного поведения листа графена представлен его конечно-элементный расчёт в случае задач статики и собственных колебаний. Использован четырёхузловой прямоугольный конечный элемент с характерными узловыми кинематическими параметрами, отвечающими моментно-мембранной теории упругих тонких пластин. При вариационной реализации метода конечных элементов для задач статики листа графена получены матрицы жёсткости и векторы эквивалентных узловых усилий, а для задачи собственных колебаний — матрица жёсткости и матрица масс. С использованием разработанного алгоритма конечно-элементного подхода решены и проанализированы прикладные задачи статики и собственных колебаний листа графена при его плоском напряжённом состоянии и поперечном изгибе. Численные результаты демонстрируют достаточно хорошую сходимость. Построенные конечно-элементные соотношения обладают универсальностью и могут применяться при решении других задач с наноструктурами в рамках моментно-мембранной линейной теории упругих оболочек.

Работа выполнена в рамках контракта N: 10-12/23-I/SHSU, финансируемого Комитетом по науке Республики Армении.

Литература

1. Geim A.K., Novoselov K.S. The rise of graphene // Nature Materials. 2007. No. 3. P. 183–191. DOI: 10.1038/nmat1849.
2. Баимова Ю.А., Мулюков Р.Р. Графен, нанотрубки и другие углеродные наноструктуры. М.: РАН, 2018. 212 с.

3. *Kang J.W., Kim H.-W., Kim K.-S., Lee J.H.* Molecular dynamics modeling and simulation of a graphene-based nanoelectromechanical resonator // *Current Applied Physics*. 2013. Vol. 13, no. 4. P. 789–794. DOI: 10.1016/j.cap.2012.12.007.
4. *Wang J., Li T.T.* Molecular dynamics simulation of the resonant frequency of graphene nanoribbons // *Ferroelectrics*. 2019. Vol. 549, no. 1. P. 87–95. DOI: 10.1080/00150193.2019.1592547.
5. *Попов А.М.* Вычислительные нанотехнологии. М.: КноРус, 2017. 312 с.
6. *Korobeynikov S.N., Alyokhin V.V., Babichev A.V.* Simulation of mechanical parameters of graphene using the DREIDING force field // *Acta Mechanica*. 2018. Vol. 229, no. 6. P. 2343–2378. DOI: 10.1007/s00707-018-2115-5.
7. *Korobeynikov S.N., Alyokhin V.V., Babichev A.V.* On the molecular mechanics of single layer graphene sheets // *International Journal of Engineering Science*. 2018. Vol. 133. P. 109–131. DOI: 10.1016/j.ijengsci.2018.09.001.
8. *Korobeynikov S.N., Alyokhin V.V., Babichev A.V.* Advanced nonlinear buckling analysis of a compressed single layer graphene sheet using the molecular mechanics method // *International Journal of Mechanical Sciences*. 2021. Vol. 209. 106703 DOI: 10.1016/j.ijmecsci.2021.106703.
9. *Аннин Б.Д., Баимова Ю.А., Мулюков Р.Р.* Механические свойства, устойчивость, коробление графеновых листов и углеродных нанотрубок (обзор) // *Прикладная механика и техническая физика*. 2020. Т. 61, № 5. С. 175–189. DOI: 10.15372/PMTF20200519.
10. *Квашин А.Г., Сорокин П.Б., Квашин Д.Г.* Теоретические исследования механических свойств графеновых мембран методом молекулярной механики // *Журнал Сибирского федерального университета. Серия: Математика и физика*. 2009. Т. 2, № 4. С. 426–431.
11. *Odegard G.M., Gates T.S., Nicholson L.M., Wise K.E.* Equivalent-Continuum Modeling of Nano-structured Materials: Technical Memorandum / NASA Langley Research Center. 2001. NASA/TM-2001-210863–2001.
12. *Li C., Chou T.-W.* A structural mechanics approach for the analysis of carbon nanotubes // *International Journal of Solids and Structures*. 2003. Vol. 40. P. 2487–2499. DOI: 10.1016/S0020-7683(03)00056-8.
13. *Гольдштейн Р.В., Ченцов А.В.* Дискретно-континуальная модель нанотрубки // *Известия Российской академии наук. Механика твердого тела*. 2005. № 4. С. 57–74.
14. *Wan H., Delale F.* A structural mechanics approach for predicting the mechanical properties of carbon nanotubes // *Meccanica*. 2009. Vol. 45. P. 43–51. DOI: 10.1007/s11012-009-9222-2.
15. *Беринский И.Е., Кривцов А.М., Кударова А.М.* Определение изгибной жёсткости графенового листа // *Физическая мезомеханика*. 2014. Т. 17, № 1. С. 57–65. URL: <https://www.elibrary.ru/rzuckp>.
16. *Иванова Е.А., Морозов Н.Ф., Семенов Б.Н., Фирсова А.Д.* Об определении упругих моделей наноструктур: теоретические расчеты и методика экспериментов // *Известия Российской академии наук. Механика твердого тела*. 2005. № 4. С. 75–84.
17. *Иванова Е.А., Кривцов А.М., Морозов Н.Ф., Фирсова А.Д.* Учёт моментного взаимодействия при расчёте изгибной жёсткости наноструктур // *Доклады Академии наук*. 2003. Т. 391, № 6. С. 764–768.
18. *Иванова Е.А., Кривцов А.М., Морозов Н.Ф.* Получение макроскопических соотношений упругости сложных кристаллических решёток с учётом моментных взаимодействий на микроуровне // *Прикладная математика и механика*. 2007. Т. 71, № 4. С. 595–615.
19. *Кузькин В.А., Кривцов А.М.* Описание механических свойств графена с использованием частиц с вращательными степенями свободы // *Доклады Академии наук*. 2011. Т. 440, № 4. С. 476–479.
20. *Современные проблемы механики. Механические свойства ковалентных кристаллов / под ред. А.М. Кривцов, О.С. Лобода.* СПб.: Исд-во Политехн. ун-та, 2014. 160 с.
21. *Саркисян С.О.* Стержневая и континуально-моментная модели деформаций двумерных наноматериалов // *Физическая мезомеханика*. 2022. Т. 25, № 2. С. 109–121. DOI: 10.55652/1683-805X_2022_25_2_109.
22. *Саркисян С.О.* Модель тонких оболочек в моментной теории упругости с деформационной концепцией «сдвиг плюс поворот» // *Физическая мезомеханика*. 2020. Т. 23, № 4. С. 13–19. DOI: 10.24411/1683-805X-2020-14002.
23. *Саркисян С.О.* Вариационные принципы моментно-мембранной теории оболочек // *Вестник Московского университета. Серия I. Математика. Механика*. 2022. № 1. С. 38–47.
24. *Sachio N., Benedict R., Lakes R.* Finite element method for orthotropic micropolar elasticity // *International Journal of Engineering Science*. 1984. Vol. 22, no. 3. P. 319–330. DOI: 10.1016/0020-7225(84)90013-2.
25. *Nakamura S., Lakes R.S.* Finite element analysis of stress concentration around a blunt crack in a cosserat elastic solid // *Computer Methods in Applied Mechanics and Engineering*. 1988. Vol. 66, no. 3. P. 257–266. DOI: 10.1016/0045-7825(88)90001-1.
26. *Корепанов В.В., Матвеевко В.П., Шардаков И.Н.* Численное исследование двумерных задач несимметричной теории упругости // *Известия Российской академии наук. Механика твёрдого тела*. 2008. № 2. С. 63–70.

27. Саркисян С.О. Краевые задачи тонких пластин в несимметричной теории упругости // Прикладная математика и механика. 2008. Т. 72, № 1. С. 129–147.
28. Саркисян С.О. Теория микрополярных упругих тонких оболочек // Прикладная математика и механика. 2012. Т. 76, № 2. С. 325–343.
29. Пальмов В.А. Плоская задача теории несимметричной упругости // Прикладная математика и механика. 1964. Т. 28, № 6. С. 1117–1120.
30. Булыгин А.Н., Кувишинский Е.В. Плоская деформация в асимметричной теории упругости // Прикладная математика и механика. 1967. Т. 31, № 3. С. 543–547.
31. Пелех Б.Л. Концентрация напряжений около отверстий при изгибе трансверсально-изотропных пластин. Киев: Наукова думка, 1977. 183 с.
32. Норри Д., де Фриз Ж. Введение в метод конечных элементов. М.: Мир, 1981. 304 с.
33. Галлагер Р. Метод конечных элементов. Основы. М.: Мир, 1984. 428 с.
34. Белкин А.Е., Гаврюшин С.С. Расчёт пластин методом конечных элементов. М.: Изд-во МГТУ им. Н. Э. Баумана, 2008. 232 с.
35. Новацкий В. Теория упругости. М.: Мир, 1975. 862 с.

Сведения об авторах:

Саркисян Самвел Оганесович (корр.), член-корр. НАН Армении, дфмн, проф., Ширакский государственный университет имени М. Налбандяна, Республика Армения, 3126, г. Гюмри, ул. Паруйра Севака, д. 4; e-mail: s_sargsyan@yahoo.com; ORCID: 0000-0003-1102-1061
Жамакочян Кнарик Араратовна, кфмн, преп., Ширакский государственный университет имени М. Налбандяна; e-mail: knarikhzhamakochyan@mail.ru; ORCID: 0009-0008-1692-2866

Саркисян Лусине Самвеловна, кфмн, доц., снс, Институт механики НАН РА, Республика Армения, 0019, г. Ереван, пр. Маршала Баграмяна, д. 24/2; e-mail: slusin@yahoo.com; ORCID: 0009-0006-5255-1930